

ИДУЩАЯ ВОЛНА КАК МОДЕЛЬ ЧАСТИЦЫ

А.В. Горюнов

С классических релятивистских позиций введено понятие *идущей* волны. Рассмотрены одномерная и трёхмерная идущие волны, их волновые и дисперсионные уравнения. Показано, что волновые (длины волн де Бройля и Комптона) и корпускулярные (4-вектор энергии-импульса и *масса покоя*) характеристики микрочастицы могут быть выражены через параметры идущей волны. Тем самым, предложен новый взгляд на ряд уже устоявшихся понятий физики, связанных с концепцией корпускулярно-волнового дуализма.

Концепция корпускулярно-волнового дуализма является одним из базовых понятий современной квантовой теории. Само возникновение этой концепции было обусловлено не только наличием волновых и корпускулярных свойств у микрообъектов, но и отсутствием единого способа их описания в рамках уже имевшихся классических понятий. Так, идея чисто волнового описания микрочастиц возникла одновременно с появлением работ де Бройля и Шрёдингера по «волновой» механике. Последующий отказ от такого подхода так же имел своё обоснование. С одной стороны, это «нематериальность» волн де Бройля: их фазовая скорость превосходит скорость света, и физический смысл удавалось придать только групповой скорости – именно она совпадает со скоростью движения частицы. С другой стороны, волновой пакет, образованный группой волн де Бройля, распространяющихся в одном направлении, не является стабильным (он расплывается) и идея связывания локализации частицы с максимумом амплитуды волнового пакета теряет смысл. Вероятностное истолкование волновой функции наряду с успехами и внутренней самосогласованностью квантовой механики в целом, постепенно перевели классическую физику в ранг устаревшей теории, как бы в принципе непригодной для адекватного описания микрообъектов.

В данной работе с классических релятивистских позиций введено понятие *идущей* волны. Анализ различных аспектов этого понятия проведён на нескольких простейших теоретических моделях. Показано, что волновые и корпускулярные характеристики микрочастицы могут быть выражены через параметры идущей волны. Тем самым, предложен новый взгляд на ряд уже устоявшихся понятий физики, связанных с концепцией корпускулярно-волнового дуализма.

1. Времениподобный вектор как сумма изотропных векторов

В двумерном (t, x) пространстве-времени (рис.1) имеется два (пространственно противоположных) изотропных направления. При сложении коллинеарных изотропных векторов получим изотропный вектор того же направления, например $\mathbf{b} + \alpha\mathbf{b} = (1 + \alpha)\mathbf{b}$, где α – произвольное действительное число. Если же складывать

пространственно противоположные изотропные векторы $\mathbf{b} = (t_b, x_b)$ и $\mathbf{a} = (t_a, -x_a)$, то в результате получим уже не изотропный, а времениподобный вектор $\mathbf{c} = \mathbf{b} + \mathbf{a} = (t_b + t_a, x_b - x_a) = (t_c, x_c)$. Верно и обратное утверждение: любой (двухмерный) времениподобный вектор может быть однозначно разложен на два изотропных слагаемых. Квадрат интервала вектора \mathbf{c} выражается через координаты векторов \mathbf{a} и \mathbf{b} следующим образом:

$$\begin{aligned} s^2 &= c^2 t_c^2 - x_c^2 = c^2(t_b + t_a)^2 - (x_b - x_a)^2 = \\ &= (c^2 t_a^2 - x_a^2) + (c^2 t_b^2 - x_b^2) + 2(c^2 t_a t_b + x_a x_b) \end{aligned}$$

В правой части этого выражения первые два слагаемых равны нулю как квадраты интервалов изотропных векторов \mathbf{a} и \mathbf{b} . Поэтому

$$s^2 = c^2 t_c^2 - x_c^2 = 2(c^2 t_a t_b + x_a x_b) \tag{1.1}$$

В (1.1) правая часть есть удвоенное псевдоевклидово скалярное произведение векторов \mathbf{a} и \mathbf{b} , которое при преобразованиях Лоренца сохраняется. Отметим, что отличие вида этого скалярного произведения от стандартного $(c^2 t_1 t_2 - x_1 x_2)$ в данном случае связано просто с явным учётом знаков координат в обозначениях:

$$c^2 t_a t_b - (-x_a) x_b = c^2 t_a t_b + x_a x_b$$

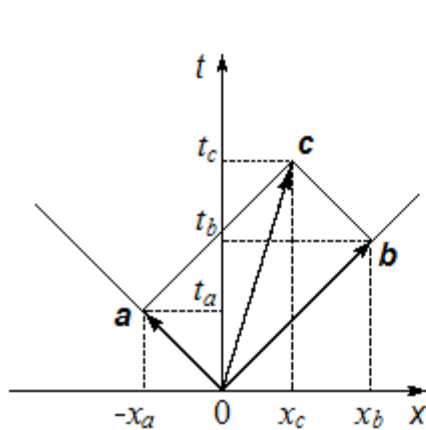


Рис. 1

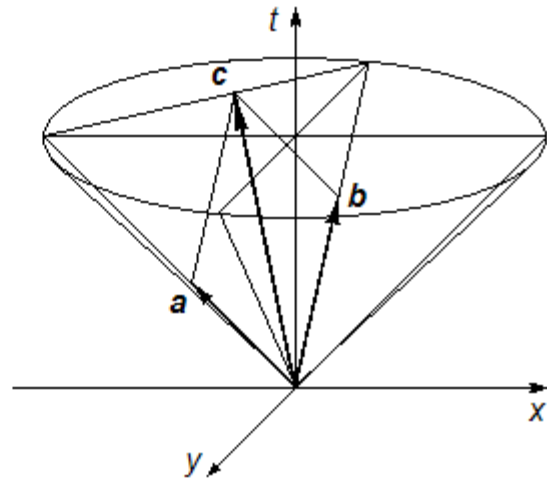


Рис. 2

В 3-мерном (t, x, y) или в 4-мерном (t, x, y, z) пространстве-времени, для получения времениподобного вектора, складываемые изотропные векторы уже не обязаны быть пространственно противоположными – достаточно, чтобы они не были коллинеарными (рис. 2). Таким образом, и в 4-мерном пространстве-времени, сложение любых двух неколлинеарных изотропных 4-векторов (будущего) даёт времениподобный 4-вектор с ненулевой псевдоевклидовой нормой, вычисляемой аналогично (1.1):

$$s^2 = c^2 t_c^2 - x_c^2 = 2(c^2 t_a t_b - x_a x_b - y_a y_b - z_a z_b) \quad (1.2)$$

В частности, это будет относиться и к 4-вектору энергии-импульса, $(E/c, p_x, p_y, p_z)$, норма которого, $m_0 c$, пропорциональна *массе покоя*. Тем самым, наличие массы покоя у частицы может рассматриваться как результат сложения некоторых безмассовых изотропных процессов.

2. Суперпозиция встречных волн как модель частицы

Рассмотрим стоячую волну, образованную в системе отсчёта $O'(t', x')$ суперпозицией двух встречных бегущих волн, одинаковых по частоте и амплитуде:

$$\cos(\omega_0 t' - k_0 x') + \cos(\omega_0 t' + k_0 x') = 2 \cos(k_0 x') \cos(\omega_0 t') \quad (2.1)$$

Скорость бегущих волн равна скорости света в вакууме c , а $\omega_0 = ck_0$. В правой части этого выражения множитель $2|\cos(k_0 x')|$ обычно интерпретируют как (зависящую от x') амплитуду колебаний, в свою очередь зависящих от времени по закону $\cos(\omega_0 t')$.

В системе отсчёта $O(t, x)$, движущейся относительно исходной системы со скоростью v навстречу первой волне, частоты обеих волн изменятся согласно эффекту Доплера:

$$\omega_1 = \omega_0 \sqrt{\frac{1 + v/c}{1 - v/c}} = \omega_0 \frac{1 + v/c}{\sqrt{1 - (v/c)^2}}, \quad \omega_2 = \omega_0 \sqrt{\frac{1 - v/c}{1 + v/c}} = \omega_0 \frac{1 - v/c}{\sqrt{1 - (v/c)^2}}, \quad (2.2)$$

а координаты (t, x) и (t', x') связаны преобразованием Лоренца. Запишем суперпозицию (2.1) в системе O в следующем виде:

$$\cos(\omega_1 t - k_1 x) + \cos(\omega_2 t + k_2 x) = 2 \cos(\omega t - Kx) \cos(\Omega t - kx), \quad (2.3)$$

где введены обозначения:

$$\frac{\omega_1 + \omega_2}{2} = \Omega, \quad \frac{\omega_1 - \omega_2}{2} = \omega, \quad \frac{k_1 + k_2}{2} = K, \quad \frac{k_1 - k_2}{2} = k. \quad (2.4)$$

Характерные особенности (например, узлы) волны теперь уже не будут стоять на месте, но будут перемещаться в системе O со скоростью, зависящей от её движения по отношению к исходной системе O' . Будем называть волну (2.3) – *идущей*, отмечая тем самым её отличие от *стоячей* волны (2.1) и образующих её встречных *бегущих* волн.

В системе отсчёта O обе бегущие волны по-прежнему распространяются со скоростью света c и для них выполняются соотношения $\omega_1 = ck_1$ и $\omega_2 = ck_2$, тогда как для величин (2.4) получим:

$$\frac{\Omega}{k} = \frac{\omega_1 + \omega_2}{k_1 - k_2} = V > c, \quad \Omega = Vk = cK, \quad \frac{2\pi}{k} = \Lambda, \quad (2.5)$$

$$\frac{\omega}{K} = \frac{\omega_1 - \omega_2}{k_1 + k_2} = v < c, \quad \omega = vK = ck, \quad \frac{2\pi}{K} = \lambda. \quad (2.6)$$

Формула (2.3) выражает суперпозицию встречных волн в виде произведения двух волновых сомножителей – высокочастотного (Ω) длинноволнового (Λ), распространяющегося со сверхсветовой скоростью V , и низкочастотного (ω) коротковолнового (λ), распространяющегося со скоростью $v < c$. Если сомножитель $2|\cos(\omega t - Kx)|$ по-прежнему интерпретировать как амплитуду колебаний, то теперь эта амплитуда не только распределена в пространстве определённым (зависящим от x) образом, но это распределение смещается вдоль оси x с постоянной скоростью v . В свою очередь, колебания с частотой Ω зависят не только от времени t , но и от координаты точки x по закону $\cos(\Omega t - kx)$, что выглядит как распространение волны со скоростью V .

Согласно (2.5) и (2.6), скорости и частоты волн-сомножителей соотносятся следующим образом:

$$vV = \frac{\omega\Omega}{Kk} = c^2, \quad V = \frac{c^2}{v}, \quad v = \frac{c^2}{V}, \quad \frac{v}{c} = \frac{c}{V} = \frac{\omega}{\Omega}. \quad (2.7)$$

Подчеркнём, что скорость низкочастотной волны-сомножителя и скорость системы отсчёта не случайно обозначены одной и той же буквой v . Так, в (2.7) v входит как скорость волны. Если же частоты Ω и ω выразить на основе (2.2) через скорость системы отсчёта, то получим

$$\Omega = \frac{\omega_1 + \omega_2}{2} = \omega_0 \frac{1 + v/c + 1 - v/c}{2\sqrt{1 - (v/c)^2}} = \omega_0 \frac{1}{\sqrt{1 - (v/c)^2}}, \quad (2.8)$$

$$\omega = \frac{\omega_1 - \omega_2}{2} = \omega_0 \frac{1 + v/c - 1 + v/c}{2\sqrt{1 - (v/c)^2}} = \omega_0 \frac{v/c}{\sqrt{1 - (v/c)^2}}, \quad (2.9)$$

откуда следует, что и в этом случае $\omega/\Omega = v/c$.

Будучи образованной двумя бегущими волнами, имеющими в любой системе отсчёта световую скорость и, следовательно, не имеющих массы покоя, сама идущая волна ведёт себя как объект с ненулевой массой покоя. Так,

$$\Omega + \omega = \omega_1 = \omega_0 \sqrt{\frac{1 + v/c}{1 - v/c}}, \quad \Omega - \omega = \omega_2 = \omega_0 \sqrt{\frac{1 - v/c}{1 + v/c}}, \quad (2.10)$$

а произведение этих выражений равно

$$(2.11)$$

$$\Omega^2 - \omega^2 = \omega_1 \omega_2 = \omega_0^2,$$

что естественно сопоставляется с релятивистским уравнением

$$E^2 - (pc)^2 = (m_0 c^2)^2$$

и базовыми квантовыми соотношениями («~» обозначает пропорциональность)

(2.12)

$$\hbar \omega_0 \sim m_0 c^2,$$

$$\hbar \Omega = \frac{\hbar \omega_0}{\sqrt{1 - (v/c)^2}} \sim \frac{m_0 c^2}{\sqrt{1 - (v/c)^2}} = mc^2 = E,$$

$$\hbar \omega = \frac{\hbar \omega_0 v/c}{\sqrt{1 - (v/c)^2}} \sim \frac{m_0 v c}{\sqrt{1 - (v/c)^2}} = m v c = pc,$$

где $m = m_0 / \sqrt{1 - (v/c)^2}$, а ω_0 – та самая частота внутреннего колебательного процесса, присущего частице в смысле де Бройля.

При $\omega_1 \rightarrow \omega_0$ и $\omega_2 \rightarrow \omega_0$ ($\omega_1 > \omega_0 > \omega_2$) из (2.5) и (2.6) следует, что

$$\begin{aligned} \Omega &\rightarrow \omega_0, & k &\rightarrow 0, & \Lambda &\rightarrow \infty, & V &\rightarrow \infty, \\ \omega &\rightarrow 0, & K &\rightarrow k_0, & \lambda &\rightarrow \lambda_0, & v &\rightarrow 0, \end{aligned}$$

и соотношение (2.3) опять примет вид (2.1). Поэтому при совпадении частот стоячая волна, все точки которой колеблются синфазно, формально может рассматриваться как волна, фаза которой мгновенно ($V = \infty$) распространяется на бесконечно большое расстояние ($\Lambda = \infty$); амплитуда же колебаний каждой точки – неизменна, т. е. скорость распространения изменения амплитуды $v = 0$.

Бесконечная скорость распространения фазы не противоречит теории относительности, так как при этом не происходит переноса энергии вдоль стоячей волны – встречный перенос энергии бегущими волнами взаимно скомпенсирован. Все бесконечности здесь возникают в связи с тем, что рассматриваемый объект – гармоническая волна – можно сказать, изначально бесконечен, как во времени, так и в пространстве.

При другой крайней ситуации, когда $v \rightarrow c$, из (2.2) получим $\omega_1 \rightarrow \infty$ и $\omega_2 \rightarrow 0$, а из (2.5) и (2.6)

$$\omega \rightarrow \Omega \rightarrow \infty, \quad k \rightarrow K \rightarrow \infty, \quad \Lambda \rightarrow \lambda \rightarrow 0 \quad \text{и} \quad V \rightarrow c.$$

Тем самым, имеющая массу покоя идущая волна приближается по своим свойствам к высокочастотной бегущей волне.

Если соотношения (2.12) рассматривать как точные равенства, то с учётом (2.5) и (2.6) из них следует

$$mv = \hbar k, \quad mc = \hbar K \quad (2.13)$$

и

$$\frac{2\pi\hbar}{mv} = \Lambda, \quad \frac{2\pi\hbar}{mc} = \lambda \quad (2.14)$$

то есть, Λ соответствует длине волны де Бройля, а λ – длина волны, которая в пределе стоячей волны ($v \rightarrow 0$, $\lambda \rightarrow \lambda_0$, $m \rightarrow m_0$) совпадает с комптоновской: $2\pi\hbar/m_0c = \lambda_0$.

Отметим, что уменьшение длины волны де Бройля Λ при увеличении скорости v никак не связано с уточнением локализации частицы – «частицей» является вся идущая волна, бесконечная как в пространстве, так и во времени.

Согласно (2.12), масса покоя частицы $m_0 \sim \omega_0$, а по формуле (2.11) $\omega_0^2 = \omega_1\omega_2$. То есть, неизменность массы покоя частицы при изменении её скорости обеспечивается взаимнообратным изменением частот ω_1 и ω_2 суммирующихся встречных бегущих волн.

Стоячая и идущая волны получаются при сложении встречных волн *одинаковой амплитуды*. Если амплитуды различны, то «излишек» (a) остаётся у бегущей волны и в образовании стоячей и идущей волн участия не принимает:

$$\begin{aligned} (A + a) \cos(\omega_0 t - k_0 x) + A \cos(\omega_0 t + k_0 x) &= a \cos(\omega_0 t - k_0 x) + 2A \cos(k_0 x) \cos(\omega_0 t) \\ (A + a) \cos(\omega_1 t - k_1 x) + A \cos(\omega_2 t + k_2 x) &= \\ &= a \cos(\omega_1 t - k_1 x) + 2A \cos(\omega t - Kx) \cos(\Omega t - kx) \end{aligned} \quad (2.15)$$

3. Модель неупругого взаимодействия

Рассмотрим две идущие волны, которые в соответствии с (2.1), (2.4) и (2.11) описываются следующими соотношениями:

$$\begin{aligned} \Omega_1 &= (\omega_{11} + \omega_{12})/2, & ck_1 &= (\omega_{11} - \omega_{12})/2, & \Omega_1^2 - (ck_1)^2 &= \omega_{11}\omega_{12} = \omega_{10}^2, \\ \Omega_2 &= (\omega_{21} + \omega_{22})/2, & ck_2 &= (\omega_{21} - \omega_{22})/2, & \Omega_2^2 - (ck_2)^2 &= \omega_{21}\omega_{22} = \omega_{20}^2. \end{aligned}$$

Идущая волна 1 образована встречными бегущими волнами 11 и 12, а идущая волна 2 – встречными бегущими волнами 21 и 22. Будем считать, что бегущие волны 11 и 21 распространяются по направлению оси Ox , а волны 12 и 22 – против. Взаимодействие состоит в «переключении» встречных бегущих волн от одной идущей волны к другой. В результате, идущие волны 1 и 2 исчезают, и возникают идущие волны 3 и 4:

$$\begin{aligned} \Omega_3 &= (\omega_{11} + \omega_{22})/2, & ck_3 &= (\omega_{11} - \omega_{22})/2, & \Omega_3^2 - (ck_3)^2 &= \omega_{11}\omega_{22} = \omega_{30}^2, \\ \Omega_4 &= (\omega_{21} + \omega_{12})/2, & ck_4 &= (\omega_{21} - \omega_{12})/2, & \Omega_4^2 - (ck_4)^2 &= \omega_{21}\omega_{12} = \omega_{40}^2. \end{aligned}$$

Механизм объединения четырёх бегущих волн в конкретные две пары, составляющие идущие волны, как и механизм их «переключения», остаётся за рамками данной модели. Сама же модель иллюстрирует принцип превращения одних взаимодейст-

вующих частиц в другие при сохранении 4-вектора энергии-импульса для системы в целом. Так, с учётом соотношений (2.12), имеем

$$\begin{aligned}\Omega_1 + \Omega_2 &= (\omega_{11} + \omega_{12} + \omega_{21} + \omega_{22})/2 = \Omega_3 + \Omega_4 \rightarrow E_1 + E_2 = E_3 + E_4 \\ ck_1 + ck_2 &= (\omega_{11} - \omega_{12} + \omega_{21} - \omega_{22})/2 = ck_3 + ck_4 \rightarrow p_1 + p_2 = p_3 + p_4\end{aligned}$$

при этом частицы с массами покоя $m_{10} \sim \omega_{10}$ и $m_{20} \sim \omega_{20}$ превращаются в частицы с массами покоя $m_{30} \sim \omega_{30}$ и $m_{40} \sim \omega_{40}$. Например, при встречном столкновении быстрых частиц, для которых выполняются условия $\omega_{11} \gg \omega_{12}$ и $\omega_{21} \ll \omega_{22}$, возникает частица с массой $m_{30} \sim \omega_{30} = (\omega_{11}\omega_{22})^{1/2}$, превосходящей массы покоя исходных частиц, m_{10} и m_{20} . Если (как данная модель и предполагает) массу покоя имеют все начальные и конечные участники реакции, то эти массы связаны соотношением:

$$m_{10} m_{20} = m_{30} m_{40} \quad (3.1)$$

поскольку $(\omega_{10} \omega_{20})^2 = (\omega_{11} \omega_{12} \omega_{21} \omega_{22}) = (\omega_{30} \omega_{40})^2$.

4. Устойчивые суперпозиции идущих волн

Дисперсией волн называют зависимость фазовой скорости гармонической волны от её частоты. Закон дисперсии обычно задают в виде дисперсионного уравнения, связывающего частоту и волновой вектор гармонической волны: $\omega = \omega(k)$. Примером недиспергирующих волн являются электромагнитные волны в вакууме, для которых выполняется дисперсионное уравнение $\omega/k = c = \text{const}$. Однонаправленные недиспергирующие волны могут сформировать устойчивый волновой пакет, скорость движения которого равна фазовой скорости образующих его бегущих волн. При наличии же дисперсии, разночастотные составляющие волнового пакета, распространяясь с различной скоростью, постепенно «растащат» свои максимумы и волновой пакет расплывётся.

Рассматриваемые нами стоячие и идущие волны являются суммой бегущих волн, распространяющихся с постоянной – световой – скоростью, для которых дисперсия отсутствует. Представление суммы недиспергирующих волн в виде произведения волн, скорость которых зависит от частоты, даёт возможность взглянуть на ситуацию с новой точки зрения, но не меняет её сущности. Так, для стоячей волны (2.1) с другой базовой частотой ω_0' будут получены и другие частоты волн-сомножителей (2.3) Ω' и ω' , но их отношение в одной и той же системе отсчёта будет одинаковым: $\omega/\Omega = \omega'/\Omega' = v/c$ и определяться оно будет именно скоростью движения этой системы. Несмотря на наличие дисперсии волн-сомножителей, частоты различных идущих волн связаны со своими волновыми векторами посредством одних и тех же скоростей ($0 < v < c$ и $c < V < \infty$):

$$\Omega = Vk, \quad \omega = vK \quad \text{и} \quad \Omega' = Vk', \quad \omega' = vK'. \quad (4.1)$$

Таким образом, суперпозиция, образованная наложением различных стоячих (в одной и той же системе отсчёта) волн, не будет расплываться и в любой другой системе отсчёта, движущейся с произвольной скоростью $v < c$. Отметим, что базовые частоты ω_0 и ω_0' (или волновые векторы k_0 и k_0') стоячих волн, образующих устойчивую суперпозицию, совсем не обязаны быть близкими по величине. Примером такой суперпозиции может служить сумма двух (или нескольких) стоячих волн с кратной длиной волны: их общие узлы останутся общими и в системе отсчёта идущей волны.

5. Волновые и дисперсионные уравнения

Известно, что дисперсионное уравнение $\omega^2 - c^2k^2 = (m_0c^2/\hbar)^2$ соответствует релятивистскому волновому уравнению Клейна – Гордона

$$\psi_{tt} = c^2\psi_{xx} - (m_0c^2/\hbar)^2 \psi \quad (5.1)$$

для гармонической волны де Бройля $\psi = A \exp[-i(\omega t \pm kx)]$. Эти дисперсионное и волновое уравнения описывают свободную частицу с массой покоя m_0 . Обычно подчёркивается, что при $m_0 = 0$ эти уравнения переходят в классические уравнения для волн, распространяющихся со световой скоростью: $\omega = ck$ и $\psi_{tt} = c^2\psi_{xx}$.

Запишем соотношение для идущей волны (2.3) в следующей краткой форме:

$$f = f_1 + f_2 = 2\varphi\Phi \quad (5.2)$$

Вторые частные производные f по времени и по пространственной координате обозначим нижними индексами tt и xx , а штрихами – производные функций по собственным фазам:

$$\begin{aligned} f_{tt} &= \omega_1^2 f_1'' + \omega_2^2 f_2'' = 2(\omega^2 \varphi'' \Phi + 2\omega\Omega \varphi' \Phi' + \Omega^2 \varphi \Phi'') \\ f_{xx} &= k_1^2 f_1'' + k_2^2 f_2'' = 2(K^2 \varphi'' \Phi + 2Kk \varphi' \Phi' + k^2 \varphi \Phi'') \end{aligned}$$

В суммарной форме ($f_1 + f_2$) функция f удовлетворяет волновому уравнению

$$f_{tt} = c^2 f_{xx} \quad (5.3)$$

в соответствии с законом дисперсии отдельных слагаемых:

$$\omega_1 = ck_1, \quad \omega_2 = ck_2. \quad (5.4)$$

Тому же волновому уравнению, естественно, удовлетворяет и $\varphi\Phi$ -форма функции f :

$$\omega^2 \varphi'' \Phi + 2\omega\Omega \varphi' \Phi' + \Omega^2 \varphi \Phi'' = c^2(K^2 \varphi'' \Phi + 2Kk \varphi' \Phi' + k^2 \varphi \Phi'')$$

Сократим обе части уравнения на одинаковые выражения $2\omega\Omega \varphi'\Phi' = 2c^2Kk \varphi'\Phi'$, а оставшиеся слагаемые сгруппируем:

$$(\Omega^2 - c^2k^2)\varphi\Phi'' = (c^2K^2 - \omega^2)\varphi''\Phi$$

поскольку $(c^2K^2 - \omega^2) = (\Omega^2 - \omega^2) = (\Omega + \omega)(\Omega - \omega) = \omega_1\omega_2 = \omega_0^2$, а $\varphi\Phi'' = \varphi''\Phi = -\varphi\Phi$, то

$$\Omega^2 - c^2k^2 = \omega_0^2 \quad (5.5)$$

Таким образом, дисперсионные уравнения (5.4) и (5.5) не противоречат друг другу и оба соответствуют обычному волновому уравнению (5.3) для идущей волны (2.3).

6. Сферическая волна

Стоячую сферическую волну с *отсутствующим источником* можно представить так: некоторый процесс распространяется по радиусам от периферии к центру, проходит через этот центр, и далее по противоположным радиусам (тех же диаметров) продолжает распространяться от центра к периферии. Тем самым, один и тот же, непрерывный вдоль диаметра процесс сначала выступает в роли сходящейся волны, а потом – после прохождения центра – в роли волны расходящейся. Таким образом, по каждому диаметру одновременно идут два встречных процесса. В результате, вдоль каждого диаметра формируется одномерная стоячая волна, а в пространстве – 3-мерная сферическая стоячая волна.

Эту же ситуацию можно интерпретировать и иначе: источник расходящейся волны и сток сходящейся – равны по величине, расположены в одной точке (центре сферы) и взаимно компенсируют друг друга. Сумма таких волн имеет следующий (формально одномерный по R) вид:

$$\frac{1}{R'} \cos(\omega_0 t' - k_0 R') + \frac{1}{R'} \cos(\omega_0 t' + k_0 R') = \frac{2}{R'} \cos(k_0 R') \cos(\omega_0 t'). \quad (6.1)$$

На данном этапе нас интересуют не амплитудные, а фазовые закономерности. Поэтому далее будем использовать выражение (6.1), сократив его на общий множитель $(1/R')$. Если перейти в движущуюся относительно O' систему отсчёта O , то стоячая в O' волна станет в O идущей. Направим ось x системы отсчёта O по движению идущей волны. Идущая волна утратит присущую стоячей волне сферическую симметрию, но сохранит аксиальную относительно оси Ox . Поэтому в качестве второй координаты удобно выбрать радиус r , перпендикулярный оси Ox (рис. 3).

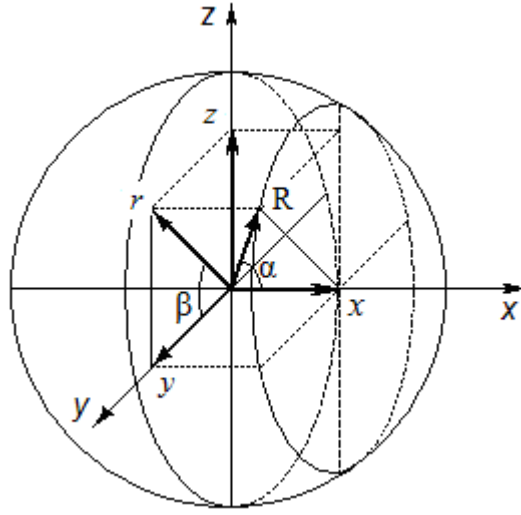


Рис. 3.

Тем самым, от одномерной формы записи (6.1) сферической стоячей волны мы перейдём к её двумерной форме:

(6.2)

$$\begin{aligned} \cos(\omega_0 t' - k_{0x} x' - k_{0r} r') + \cos(\omega_0 t' + k_{0x} x' + k_{0r} r') &= 2 \cos(k_{0x} x' + k_{0r} r') \cos(\omega_0 t'), \\ \cos(\omega_0 t' - k_{0x} x' + k_{0r} r') + \cos(\omega_0 t' + k_{0x} x' - k_{0r} r') &= 2 \cos(k_{0x} x' - k_{0r} r') \cos(\omega_0 t'), \end{aligned}$$

(6.3)

$$\text{где } x' = R' \cos \alpha, \quad r' = R' \sin \alpha, \quad k_{0x} = k_0 \cos \alpha, \quad k_{0r} = k_0 \sin \alpha \quad \text{и } 0 \leq \alpha \leq \pi/2. \quad (6.4)$$

Формула (6.2) описывает стоячую волну в передней полусфере, когда проекции волнового вектора \mathbf{k} на оси x и r одного знака, а формула (6.3) – в задней полусфере, когда знаки проекций вектора \mathbf{k} на эти оси противоположны.

При переходе в систему O , для всех 4-векторов t - и x -составляющие преобразуются согласно формулам Лоренца; y - и z -, а значит и r -составляющие, не изменяются. Соответствующим образом преобразуется и 4-вектор $(\omega_0/c, \mathbf{k}_0)$:

$$\begin{aligned} \frac{\omega_1}{c} &= \frac{\omega_0/c + (v/c)k_{0x}}{\sqrt{1 - (v/c)^2}}, & k_{1x} &= \frac{k_{0x} + (v/c)(\omega_0/c)}{\sqrt{1 - (v/c)^2}}, & k_{1r} &= k_{0r}, \\ \frac{\omega_2}{c} &= \frac{\omega_0/c - (v/c)k_{0x}}{\sqrt{1 - (v/c)^2}}, & k_{2x} &= \frac{k_{0x} - (v/c)(\omega_0/c)}{\sqrt{1 - (v/c)^2}}, & k_{2r} &= k_{0r}, \end{aligned}$$

Учитывая, что $\omega_0 = ck_0$ и формулы (6.4), получим:

(6.5)

$$\begin{aligned} \omega_1 &= \omega_0 \frac{1 + (v/c) \cos \alpha}{\sqrt{1 - (v/c)^2}} = ck_1, & k_{1x} &= k_0 \frac{\cos \alpha + (v/c)}{\sqrt{1 - (v/c)^2}}, & k_{1r} &= k_0 \sin \alpha, \\ \omega_2 &= \omega_0 \frac{1 - (v/c) \cos \alpha}{\sqrt{1 - (v/c)^2}} = ck_2, & k_{2x} &= k_0 \frac{\cos \alpha - (v/c)}{\sqrt{1 - (v/c)^2}}, & k_{2r} &= k_0 \sin \alpha, \end{aligned}$$

(6.6)

что представляет собой одну из форм записи трёхмерного (формально – двухмерного) эффекта Доплера, удобную именно для рассматриваемой здесь ситуации и переходящую в одномерные формулы (1.2) при $\alpha = 0$. Используя (6.5) и (6.6), прямым вычислением можно убедиться, что

$$k_{1x}^2 + k_{1r}^2 = k_1^2 \quad \text{и} \quad k_{2x}^2 + k_{2r}^2 = k_2^2 \quad (6.7)$$

и тем самым, что 4-векторы $(\omega_1/c, \mathbf{k}_1)$ и $(\omega_2/c, \mathbf{k}_2)$ – изотропные.

В системе O соотношения для трёхмерной идущей волны примут вид:

$$\begin{aligned} \cos(\omega_1 t - k_{1x}x - k_{1r}r) + \cos(\omega_2 t + k_{2x}x + k_{2r}r) &= 2 \cos(\omega t - K_x x - K_r r) \cos(\Omega t - k_x x) \\ \cos(\omega_1 t - k_{1x}x + k_{1r}r) + \cos(\omega_2 t + k_{2x}x - k_{2r}r) &= 2 \cos(\omega t - K_x x + K_r r) \cos(\Omega t - k_x x) \end{aligned} \quad (6.8)$$

где

$$\begin{aligned} \Omega &= \frac{\omega_1 + \omega_2}{2} = \omega_0 \frac{1}{\sqrt{1 - (v/c)^2}}, & K_x &= \frac{k_{1x} + k_{2x}}{2} = k_0 \frac{\cos \alpha}{\sqrt{1 - (v/c)^2}} \\ \omega &= \frac{\omega_1 - \omega_2}{2} = \omega_0 \frac{(v/c) \cos \alpha}{\sqrt{1 - (v/c)^2}}, & k_x &= \frac{k_{1x} - k_{2x}}{2} = k_0 \frac{(v/c)}{\sqrt{1 - (v/c)^2}} \end{aligned} \quad (6.10)$$

$$K_r = (k_{1r} + k_{2r})/2 = k_0 \sin \alpha$$

а также

$$\frac{\Omega}{k_x} = \frac{c^2}{v} = V, \quad \frac{\omega}{K_x} = v, \quad \frac{\Omega \omega}{k_x K_x} = Vv = c^2, \quad \Omega \omega = c^2 k_x K_x \quad (6.11)$$

Записав, аналогично разделу 5, уравнение для идущей волны (6.8) в краткой форме

$$f = f_1 + f_2 = 2\varphi\Phi \quad (6.12)$$

получим следующие выражения для вторых частных производных f :

$$\begin{aligned} f_{tt} &= \omega_1^2 f_1'' + \omega_2^2 f_2'' = 2(\omega^2 \varphi'' \Phi + 2\omega \Omega \varphi' \Phi' + \Omega^2 \varphi \Phi'') \\ f_{xx} &= k_{1x}^2 f_1'' + k_{2x}^2 f_2'' = 2(K_x^2 \varphi'' \Phi + 2K_x k_x \varphi' \Phi' + k_x^2 \varphi \Phi'') \\ f_{rr} &= k_{1r}^2 f_1'' + k_{2r}^2 f_2'' = 2(K_r^2 \varphi'' \Phi) \end{aligned} \quad (6.13)$$

где штрихами обозначены производные функций по собственным фазам. Тогда, с учётом (6.7)

$$\omega_1^2 f_1'' + \omega_2^2 f_2'' = c^2 [(k_{1x}^2 + k_{1r}^2) f_1'' + (k_{2x}^2 + k_{2r}^2) f_2''] = c^2 (k_1^2 f_1'' + k_2^2 f_2'') \quad (6.14)$$

то есть, функция f удовлетворяет классическому волновому уравнению

$$f_{tt} = c^2 (f_{xx} + f_{rr}) \quad (6.15)$$

и, исходя из $\varphi\Phi$ -формы этого уравнения, получим

$$\begin{aligned}\omega^2\varphi''\Phi + 2\omega\Omega\varphi'\Phi' + \Omega^2\varphi\Phi'' &= c^2(K_x^2\varphi''\Phi + 2K_xk_x\varphi'\Phi' + k_x^2\varphi\Phi'' + K_r^2\varphi''\Phi) \\ (\Omega^2 - c^2k_x^2)\varphi\Phi'' &= (c^2K_x^2 + c^2K_r^2 - \omega^2)\varphi''\Phi\end{aligned}\tag{6.16}$$

$$\Omega^2 - c^2k_x^2 = \omega_0^2$$

где учтены: формула (6.11), равенство $\varphi''\Phi = \varphi\Phi''$ и следующее из (6.10) выражение

$$c^2K_x^2 + c^2K_r^2 - \omega^2 = \omega_0^2 \left[\cos^2\alpha + \left(1 - \frac{v^2}{c^2}\right)\sin^2\alpha - \frac{v^2}{c^2}\cos^2\alpha \right] / \left(1 - \frac{v^2}{c^2}\right) = \omega_0^2$$

Таким образом, аналогично одномерной волне, рассмотренной в разделе 2, для трёхмерной идущей волны на основе соотношения (6.16) и формул (6.10) имеем следующее сопоставление её параметров с характеристиками частицы:

$$\begin{aligned}\hbar\omega_0 &\sim m_0c^2, \\ \hbar\Omega &= \frac{\hbar\omega_0}{\sqrt{1 - (v/c)^2}} \sim \frac{m_0c^2}{\sqrt{1 - (v/c)^2}} = mc^2 = E, \\ \hbar k_x &= \frac{\hbar k_0 v/c}{\sqrt{1 - (v/c)^2}} \sim \frac{m_0v}{\sqrt{1 - (v/c)^2}} = mv = p.\end{aligned}\tag{6.17}$$

Отметим, что полученные соотношения справедливы для всех точек идущей волны и описывают эволюцию волнового процесса вдоль оси Ox в каждой точке 3-мерного пространства.

7. Амплитудные закономерности

Вернёмся к уравнению (6.1) и обсудим амплитудные закономерности, которые в предыдущем разделе были оставлены без рассмотрения. В отличие от одномерной волны, все точки которой равноправны, сферическая волна имеет выделенную точку – центр сферы ($R = 0$), сопоставляемую как с началом системы координат, так и с центром моделируемой частицы. Записанная без штрихов, амплитуда волновой функции (6.1) имеет следующий вид: $|(2/R)\cos(k_0R)|$. Она гармонически зависит от R и при этом убывает пропорционально $1/R$. Таким образом, максимум амплитуды волновой функции естественным образом совпадает с центром частицы. Подчеркнём, что этот факт никак не связан с возможностью формирования волнового пакета и реализуется для произвольной *монохроматической* стоячей сферической волны (или для суперпозиции таких волн).

Обычно отмечают, что при $R \rightarrow 0$, амплитуда сферической волны стремится к бесконечности, и расценивают это как существенный недостаток всех таких (зависящих от $1/R$) центрально-симметричных конструкций. Для стоячей сферической волны эта проблема разрешается путём надлежащего согласования начальных фаз встречных волн. А именно, требуется, чтобы суммирующиеся сходящаяся и расходящаяся волны приходили в центр сферы в противофазе, в результате чего там бы располагался узел стоячей волны. Например, при

$$f_1 \leftrightarrow \cos(\omega_0 t - k_0 R) \quad \text{и} \quad f_2 \leftrightarrow \cos(\omega_0 t + k_0 R \pm \pi) = -\cos(\omega_0 t + k_0 R) \quad (7.1)$$

уравнение (6.1) примет вид

$$\frac{a}{R} \cos(\omega_0 t - k_0 R) - \frac{a}{R} \cos(\omega_0 t + k_0 R) = \frac{2a}{R} \sin(k_0 R) \sin(\omega_0 t) = 2ak_0 \frac{\sin(k_0 R)}{k_0 R} \sin(\omega_0 t) \quad (7.2)$$

где учтено также, что складываемые бегущие волны характеризуются собственной – не обязательно единичной – одинаковой амплитудой a .

При $R = 0$ дробь в правой части (7.2) равна единице и амплитуда имеет конечное значение $2ak_0$. При всех остальных значениях R – дробь $|\sin(k_0 R)/k_0 R| < 1$, и стремится к нулю с ростом R . Таким образом, амплитуда сферической стоячей волны имеет следующую величину, конечную при всех значениях R :

$$A = 2ak_0 \left| \frac{\sin(k_0 R)}{k_0 R} \right| \quad (7.3)$$

График зависимости $A(R)$ напоминает форму волнового пакета, хотя природа такой зависимости совершенно иная.

В классической механике энергетические характеристики волны зависят от её амплитуды. В квантовой механике соответствующие характеристики частицы определяются частотой (или волновым числом) волновой функции. Формула (7.3) позволяет состыковать эти дуальные концепции, поскольку волновое число k_0 оказывается составной (мультипликативной) частью классической амплитуды.

Волна (7.2), кроме центрального узла имеет концентрические узловыи поверхности, радиус которых определяется условием

$$\sin(k_0 R_n) = 0, \quad R_n = n\pi/k_0, \quad (n = 1, 2, \dots) \quad (7.4)$$

Отсюда следует, что в 3-мерном случае суперпозиция стоячих волн кратных частот будет иметь общие узловыи поверхности. При преобразованиях Лоренца – когда происходит переход в систему отсчёта идущей волны – общие узловыи поверхности останутся общими, хотя изменят сферическую форму на эллипсоидную. Устойчивой и имеющей конечную амплитуду будет и суперпозиция сферических стоячих волн с произвольным (не кратным) соотношением частот, если все они имеют общий узел в центре сферы.

8. Заключение

Не повторяя выводов, уже сделанных в каждом из предыдущих разделов, сформулируем несколько итоговых обобщающих замечаний.

Основным понятием данной работы является понятие *идущей* волны. Когда мы рассматриваем в некоторой системе отсчёта стоячую волну (одномерную или трёхмерную), а потом переходим в новую систему отсчёта, движущуюся относительно исходной со скоростью v , то тем самым и получаем в новой системе отсчёта волну, *идущую* со скоростью v . Отметим, что сама стоячая волна отсюда может интерпретироваться как частный случай идущей волны, имеющей скорость $v = 0$. Как было показано выше, через параметры идущей волны могут быть выражены и волновые (длины волн де Бройля и Комптона), и корпускулярные (4-вектор энергии-импульса и масса покоя) характеристики микрочастицы. В свете такого единого – волнового – описания, дуальные понятия частицы и её волновой функции также приобретают общий смысл:

1. Точечная микрочастица представляет собой некоторый волновой процесс, занимающий всё пространство. То, что обычно интерпретируют как положение покоящейся частицы, есть лишь центр сферической стоячей волны, геометрическое место, не имеющее каких-либо других принципиальных особенностей.

2. Волновая функция микрочастицы является суперпозицией волновых процессов, имеющих световую, а не сверхсветовую скорость. Тем самым, вместо абстрактных вероятностных характеристик эта функция наделяется свойствами реального физического поля, которое собственно и образует частицу, и характеризует все её свойства.

3. Наибольшую, но конечную амплитуду 3-мерная волновая функция имеет в центре сферической стоячей волны. Этот факт никак не связан с возможностью формирования волнового пакета и реализуется для произвольной (фазово-согласованной) монохроматической стоячей волны. Так же, как и для суперпозиции таких волн.

Ввиду своей элементарности и обобщённости, предложенная модель не претендует на описание какой-либо конкретной микрочастицы или какого-то определённого поля. С другой стороны, в силу тех же причин, можно полагать применимость самой идеологии данной модели для описания не только массы частицы, но и других её точечных характеристик. Так, например, фактическое отсутствие электрического заряда в предполагаемом месте его локализации снимает все проблемы, связанные с его бесконечной плотностью в точке или с его распределением внутри некой гипотетической сферы. И т. п.

Таким образом, данная работа предлагает новый взгляд на ряд уже устоявшихся понятий физики, связанных с концепцией корпускулярно-волнового дуализма, и служит обоснованию возможности принципиально иного – по сути своей, классического – волнового релятивистского подхода в этой области, основанного на концепции *идущей* волны.

Все понятия, определения и формулы, использованные в данной работе в качестве исходных, давно стали достоянием учебной литературы. Они могут быть найдены в соответствующих разделах любого Курса общей физики или в обычных справочных источниках, например [1], [2].

Благодарности

Я благодарю С.Н. Гниненко и В.В. Архипова за полезное обсуждение и конструктивные замечания.

Литература

- [1] Яворский Б.М., Детлаф А.А. Справочник по физике. М.: Наука. 1980.
- [2] Физический энциклопедический словарь. М.: Советская энциклопедия. 1983.

Walking Wave as a Model of Particle

A.V. Goryunov

The concept of *walking wave* is introduced from classical relativistic positions. One- and three-dimensional walking waves considered with their wave equations and dispersion equations. It is shown that wave characteristics (de Broglie's and Compton's wavelengths) and corpuscular characteristics (energy-momentum vector and the *rest mass*) of particle may be expressed through parameters of walking wave. By that the new view on a number concepts of physic related with wave-particle duality is suggested.